

# Astronomía Extragaláctica

## Cap. 4: Galaxias espirales y lenticulares

Profesores: Favio R. Faifer y Sergio A. Cellone

Facultad de Ciencias Astronómicas y Geofísicas  
Universidad Nacional de La Plata, Argentina

curso 2024

## Cap. 4: Galaxias espirales y lenticulares

- 1 Distribución de brillo superficial
- 2 La secuencia de las galaxias de disco
- 3 Distribución de poblaciones estelares
- 4 El gas
- 5 Cinemática - dinámica
- 6 La estructura espiral
- 7 Barras
- 8 El origen de las S0

# Cap. 4: Galaxias espirales y lenticulares

- 1 Distribución de brillo superficial
- 2 La secuencia de las galaxias de disco
- 3 Distribución de poblaciones estelares
- 4 El gas
- 5 Cinemática - dinámica
- 6 La estructura espiral
- 7 Barras
- 8 El origen de las S0

# Característica distintiva de las S y S0

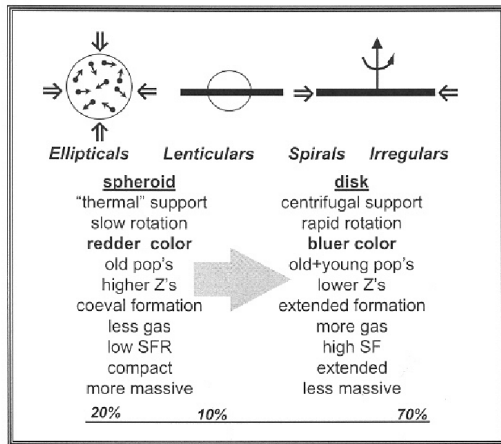


Disco estelar notable y extendido



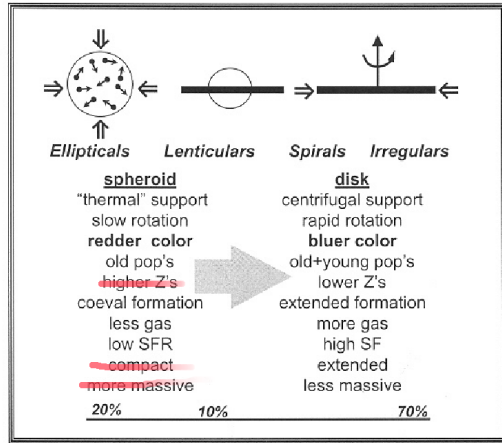
galaxias de disco

# Esfieroides - discos



$$M_B \lesssim -18$$

# Esfieroides - discos



$$M_B \gtrsim -18$$

$$\cos^2(i) = \frac{(1 - \epsilon)^2 - q_0^2}{1 - q_0^2}$$

$\epsilon$ : elipticidad (medida)

$q_0 = 0,11 \rightarrow 0,20$ : achatamiento intrínseco

(Courteau, S. 1997, AJ, 114, 2402)

# Perfil de brillo superficial

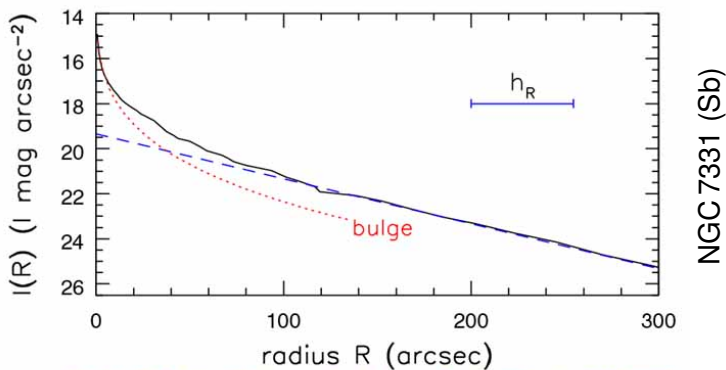


Fig 5.4 (R. Peletier) 'Galaxies in the Universe' Sparke/Gallagher CUP 2007

# Perfil de brillo superficial

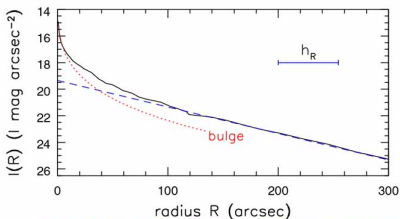


Fig 5.4 (R. Peletier) 'Galaxies in the Universe' Sparke/Gallagher CUP 2007



$$\text{banda } I \rightarrow \begin{aligned} \mu(r=0) &\simeq 15 \text{ mag arcsec}^{-2} \\ \mu(r=300'') &\simeq 25 \text{ mag arcsec}^{-2} \end{aligned}$$

$$\begin{aligned} \mu_{\text{cielo}} &\simeq 19,9 \text{ mag arcsec}^{-2} \\ I(r=0) &\simeq 100 \times I_{\text{cielo}} \\ I(r=300'') &\simeq 0,01 \times I_{\text{cielo}} \end{aligned}$$

# Perfil de brillo superficial

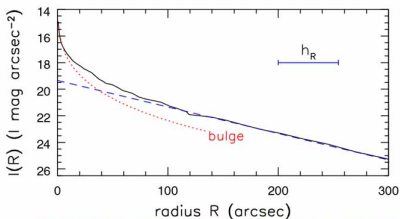


Fig 5.4 (R. Peletier) 'Galaxies in the Universe' Sparke/Gallagher CUP 2007

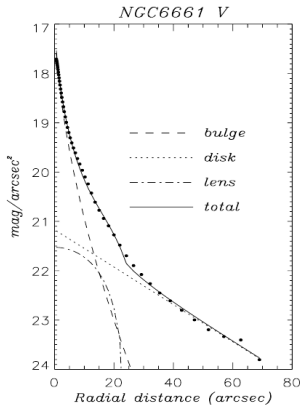
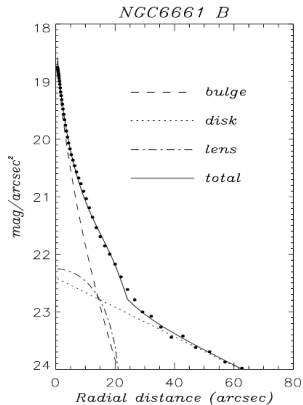


$$\text{banda } I \rightarrow \begin{aligned} \mu(r=0) &\simeq 15 \text{ mag arcsec}^{-2} \\ \mu(r=300'') &\simeq 25 \text{ mag arcsec}^{-2} \end{aligned}$$

$$\begin{aligned} \mu_{\text{cielo}} &\simeq 19,9 \text{ mag arcsec}^{-2} \\ I(r=0) &\simeq 100 \times I_{\text{cielo}} \\ I(r=300'') &\simeq 0,01 \times I_{\text{cielo}} \end{aligned}$$

# Componentes estructurales

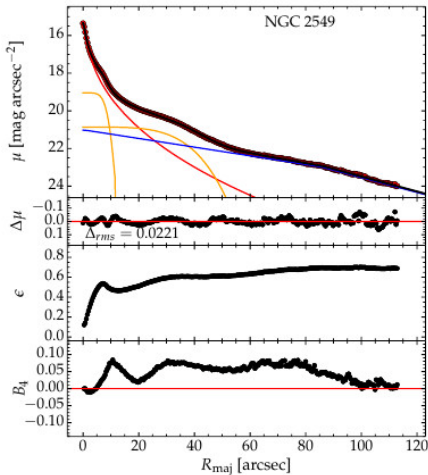
## Bulbos, discos, lentes y barras



(Prieto et al. 2001, A&A 367, 405)

# Componentes estructurales

Bulbos, discos, lentes y barras



(Ciambur B., 2016, PASA, 33, 62.)

# Componentes estructurales

## Bulbo y disco

Hasta fines s XX:

bulbo: Ley de *Vaucouleurs* (LdV)

$$I_B(r) = I_e \exp \left\{ -7,67 \left[ \left( \frac{r}{r_e} \right)^{\frac{1}{4}} - 1 \right] \right\}$$

disco: Ley exponencial

$$I_D(r) = I_0 e^{-\left(\frac{r}{r_0}\right)}$$

# Componentes estructurales

## Bulbo y disco

Actualmente:

bulbo: Ley de Sérsic

$$I(r) = I_e e^{-b_n \left[ \left( \frac{r}{r_e} \right)^{\frac{1}{n}} - 1 \right]} \quad (n \leq 4),$$

disco: Ley exponencial

$$I_D(r) = I_0 e^{-\left(\frac{r}{r_0}\right)}$$

# Componentes estructurales

Lentes, barras elíptica y planas, anillos

$$I_{\text{lens}}(r) = I_{0,\text{lens}} \left[ 1 - \left( \frac{r}{r_{0,\text{lens}}} \right)^2 \right] \quad (r \leq r_{0,\text{lens}}).$$

$$I_{\text{bar}}(x, y) = I_{0,\text{bar}} \sqrt{1 - \left( \frac{x}{a_{\text{bar}}} \right)^2 - \left( \frac{y}{b_{\text{bar}}} \right)^2}, \quad (1)$$

$$I_{\text{bar}}(r) = \frac{I_{0,\text{bar}}}{1 + e^{\frac{r-\alpha}{\beta}}},$$

$$I_{\text{ring}}(r) = I_{0,\text{ring}} e^{-\frac{1}{2} \left( \frac{r-r_{0,\text{ring}}}{\sigma} \right)^2}.$$

# Componentes estructurales

Lentes, barras elíptica y planas, anillos

$$I_{\text{lens}}(r) = I_{0,\text{lens}} \left[ 1 - \left( \frac{r}{r_{0,\text{lens}}} \right)^2 \right] \quad (r \leq r_{0,\text{lens}}).$$

$$I_{\text{bar}}(x, y) = I_{0,\text{bar}} \sqrt{1 - \left( \frac{x}{a_{\text{bar}}} \right)^2 - \left( \frac{y}{b_{\text{bar}}} \right)^2}, \quad (1)$$

$$I_{\text{bar}}(r) = \frac{I_{0,\text{bar}}}{1 + e^{\frac{r-r_{\alpha}}{\beta}}},$$

$$I_{\text{ring}}(r) = I_{0,\text{ring}} e^{-\frac{1}{2} \left( \frac{r-r_{0,\text{ring}}}{\sigma} \right)^2}.$$

# Componentes estructurales

Lentes, barras elíptica y planas, anillos

$$I_{\text{lens}}(r) = I_{0,\text{lens}} \left[ 1 - \left( \frac{r}{r_{0,\text{lens}}} \right)^2 \right] \quad (r \leq r_{0,\text{lens}}).$$

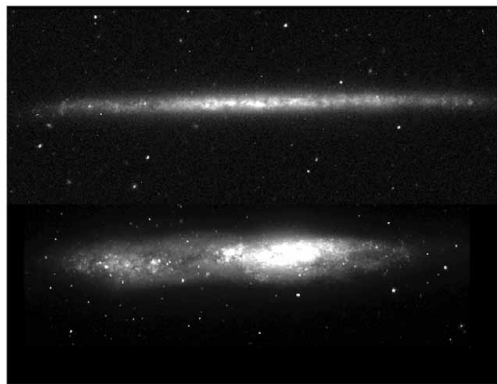
$$I_{\text{bar}}(x, y) = I_{0,\text{bar}} \sqrt{1 - \left( \frac{x}{a_{\text{bar}}} \right)^2 - \left( \frac{y}{b_{\text{bar}}} \right)^2}, \quad (1)$$

$$I_{\text{bar}}(r) = \frac{I_{0,\text{bar}}}{1 + e^{\frac{r-r_{\alpha}}{\beta}}},$$

$$I_{\text{ring}}(r) = I_{0,\text{ring}} e^{-\frac{1}{2} \left( \frac{r-r_{0,\text{ring}}}{\sigma} \right)^2}.$$

$$I(r, z) = I(r) e^{-\frac{|z|}{h_z}} \quad (h_z \approx 0,1 h_r)$$

Donde usualmente  $I(r)$  es una ley exponencial.



UGC 7321 (Sd)  
("superdelgada")

NGC 55 (SBm)

Fig 5.7 (Matthews, Ferguson)'Galaxies in the Universe' Sparke/Gallagher CUP 2007

(Freeman, 1970, ApJ, 160, 811)

$$\mu_0(B) \simeq 21,7 \text{ mag arcsec}^{-2}$$

para 28/36 galaxias S (RC)



¿Astrofísica o efecto de selección?

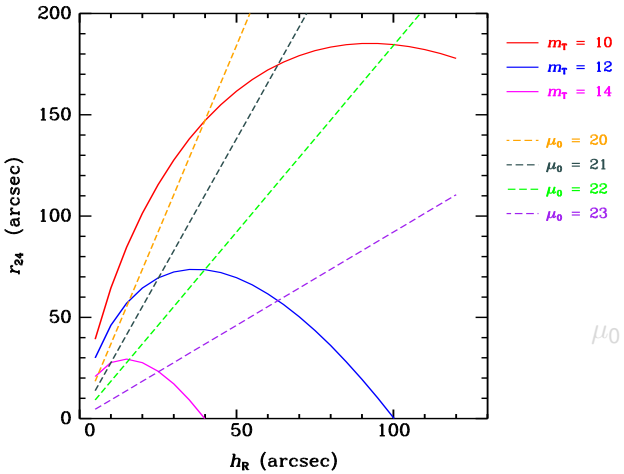
(Freeman, 1970, ApJ, 160, 811)

$$\mu_0(B) \simeq 21,7 \text{ mag arcsec}^{-2}$$

para 28/36 galaxias S (RC)



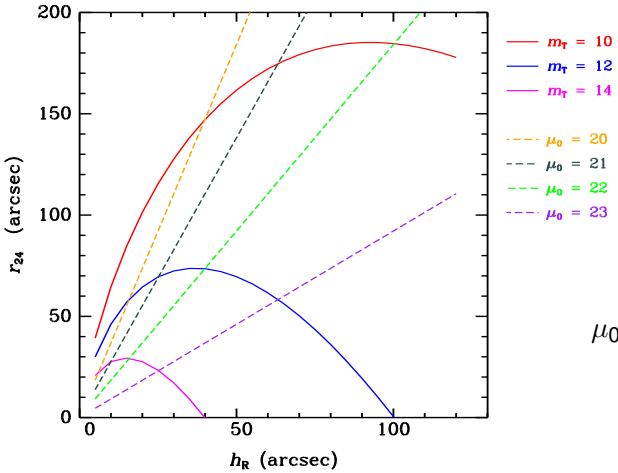
¿Astrofísica o efecto de selección?



$$\mu_0 \lesssim 22 \text{ mag arcsec}^{-2}$$



$r_{24}$  es máximo



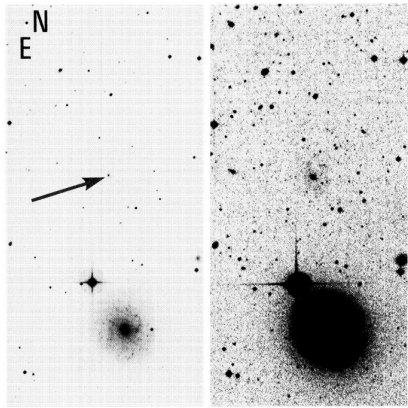
$$\mu_0 \lesssim 22 \text{ mag arcsec}^{-2}$$



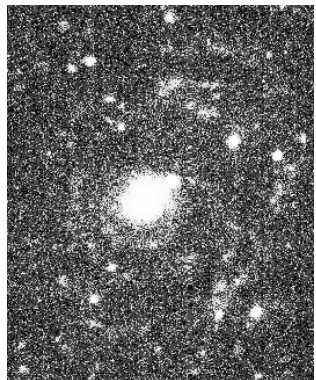
$r_{24}$  es máximo

# Espirales LSB

Malin 1

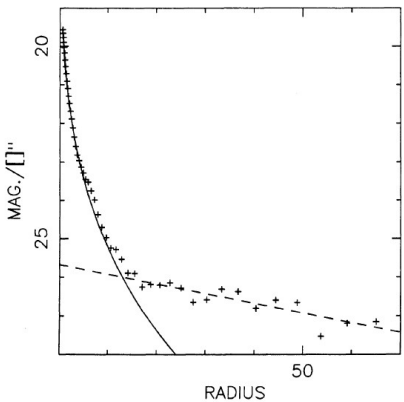


(Bothun, Impey, Malin, 1987, AJ, 94, 23)

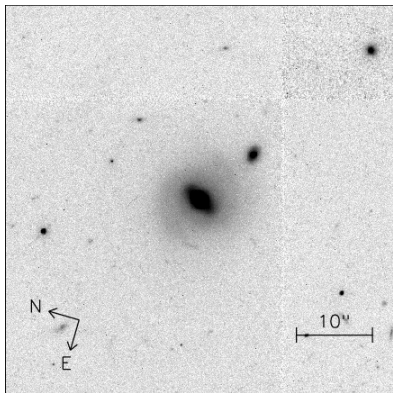


# Espirales LSB

Malin 1



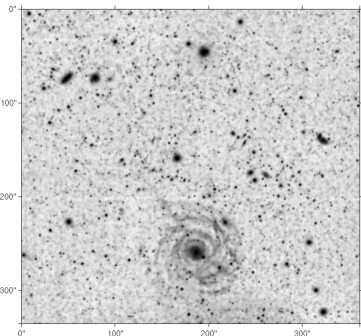
(Bothun, Impey, Malin, 1987, AJ, 94, 23)



(Barth, 2007, AJ, 133, 1085)

# Espirales LSB

Malin 1 - Imágenes profundas de gran campo

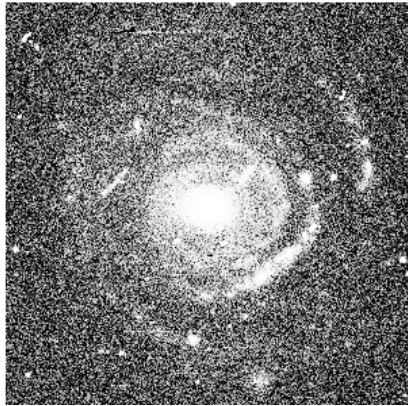


Combinación de imágenes  $g$  y  $r$  (telescopio Magallanes 6.5m). Se distinguen el bulbo y una clara estructura espiral + *stream* (derrame), posible interacción pasada (estructuras de hasta  $\sim 28 \text{ mag arcsec}^{-2}$ ). Diámetro de Malin 1: 160 kpc.

(Gaspar Galaz et al. 2015, ApJ, 815, L29)

# Espirales LSB

Malin 2



# Espirales LSB

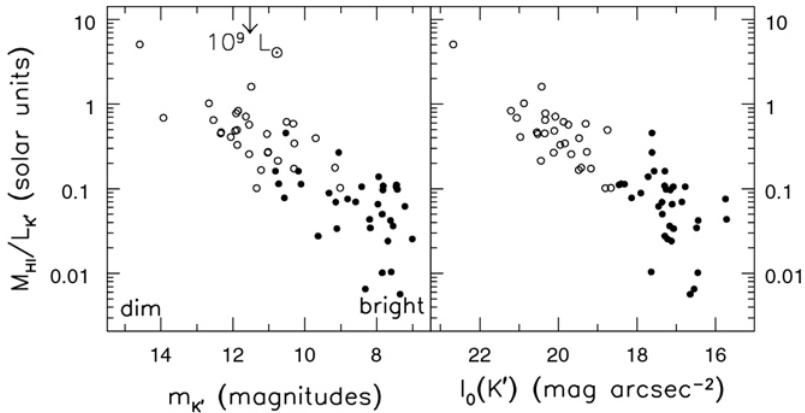
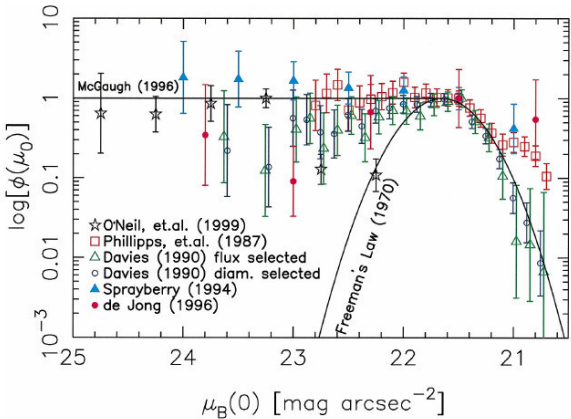


Fig 5.8 (M. Verheijen) 'Galaxies in the Universe' Sparke/Gallagher CUP 2007

# Espirales LSB



Distribución de brillo superficial central en distintas muestras observadas (O'Neil & Bothun, 2000, ApJ, 529, 811).

Elipsoide; contenido estelar:

- población estelar vieja
- y de alta metalicidad



NGC 3115  
S0



M 104  
Sa



M 33  
Sc



SMC  
Im

El bulbo

NGC 5054 (Sb) - NGC 1365 (SBbc)



ESO PR Photo 01a/99 (27 February 1999)

Barred Galaxy NGC 1365  
(VLT UT1 + FORS1)

© European Southern Observatory



# Cap. 4: Galaxias espirales y lenticulares

- 1 Distribución de brillo superficial
- 2 La secuencia de las galaxias de disco
- 3 Distribución de poblaciones estelares
- 4 El gas
- 5 Cinemática - dinámica
- 6 La estructura espiral
- 7 Barras
- 8 El origen de las S0

# La relación bulbo - disco

a lo largo de la secuencia de Hubble:

- aumenta la s.f.r. (en el disco)
- decrece la fracción  $\frac{B}{D}$

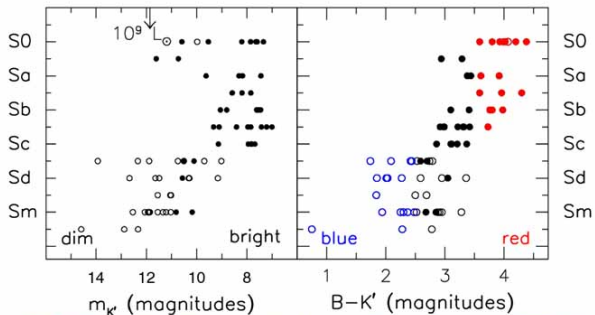
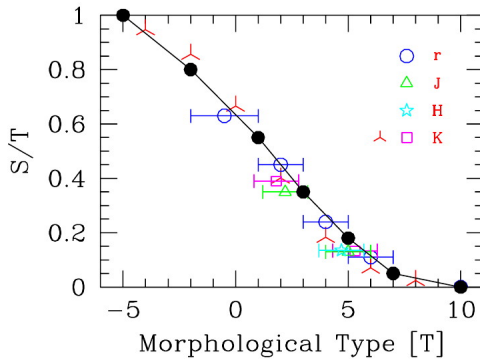


Fig 5.6 (M. Verheijen) 'Galaxies in the Universe' Sparke/Gallagher CUP 2007

# La relación bulbo - disco

a lo largo de la secuencia de Hubble:

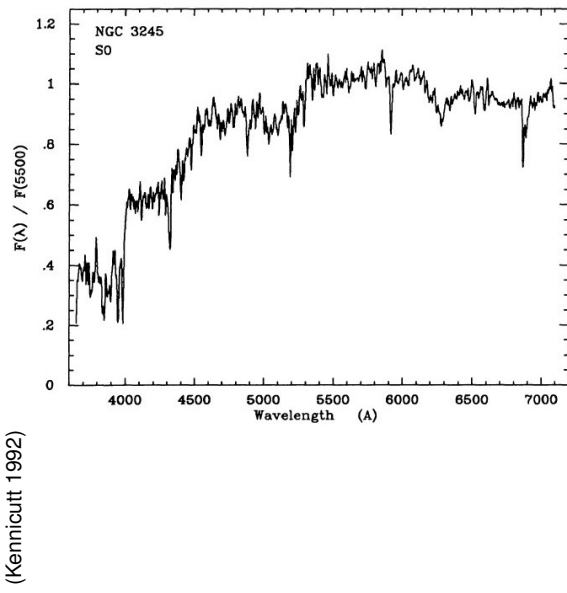
- aumenta la s.f.r. (en el disco)
- decrece la fracción  $\frac{B}{D}$



# La secuencia de galaxias de disco

Característica	S0 – Sa	Sd – Sm
Brazos espirales	♯ o apretados	abiertos
Color – TE	rojo: ★ G tardía	azul: ★ F tardía
$B - V$	$0,7 \rightarrow 0,9$	$0,4 \rightarrow 0,8$
Estrellas jóvenes	pocas	relativ. muchas
Regiones HII	pocas, pequeñas	muchas, luminosas
Gas frío	poco	mucho
$\mathcal{M}(\text{HI})/\mathcal{L}_B$	$\lesssim 0,05 \rightarrow 0,1$	$\sim 0,25 \rightarrow > 1$
$\mathcal{L}_B$	$(1 \rightarrow 4)10^{10}\mathcal{L}_\odot$	$(< 0,1 \rightarrow 2)10^{10}\mathcal{L}_\odot$
$I_0$	alto	bajo
$\mathcal{M}(< R)$	$(0,5 \rightarrow 3)10^{11}\mathcal{M}_\odot$	$(< 0,2 \rightarrow 1)10^{11}\mathcal{M}_\odot$
Rotación	$\frac{dV(R)}{dR}$ alta	$\frac{dV(R)}{dR}$ baja
B/D	alta	baja

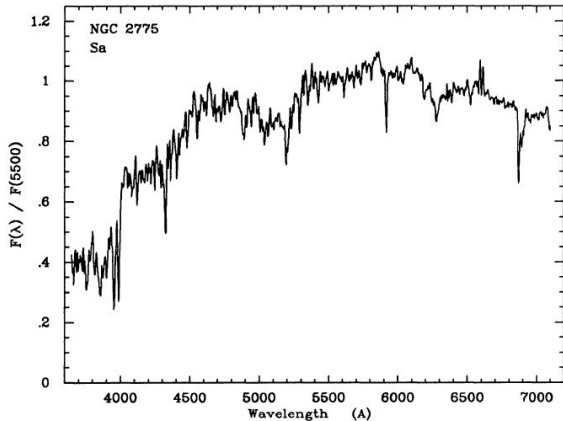
# Espectros ópticos



galaxia S0

# Espectros ópticos

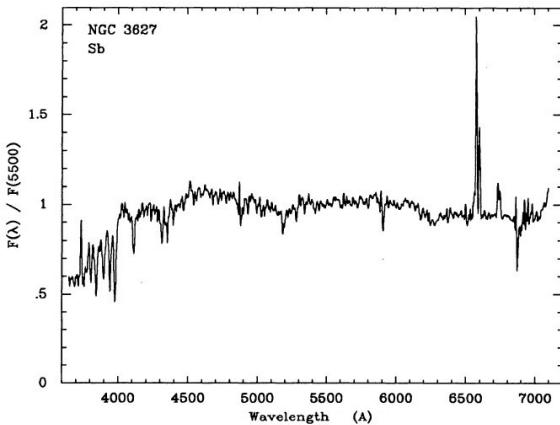
(Kennicutt 1992)



galaxia Sa

# Espectros ópticos

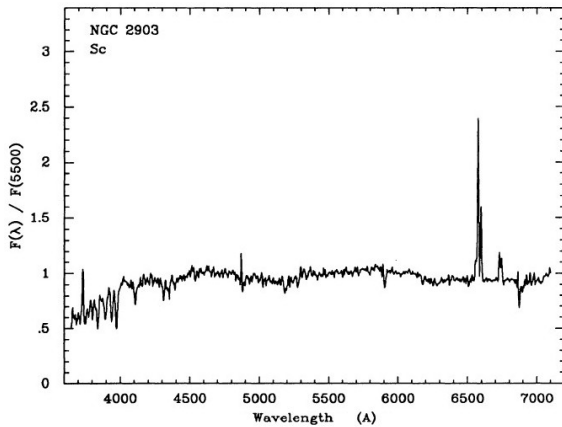
(Kennicutt 1992)



galaxia Sb

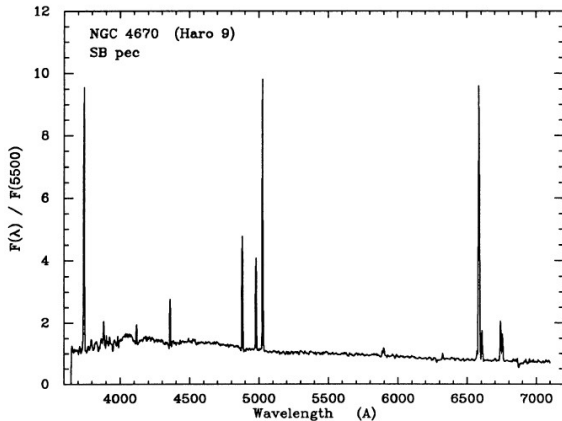
# Espectros ópticos

(Kennicutt 1992)



galaxia Sc

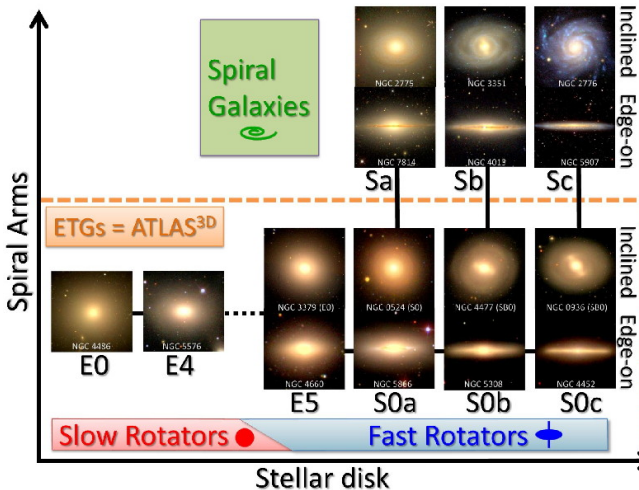
# Espectros ópticos



(Kennicutt 1992)

galaxia Sm

# Clasificación cinemática

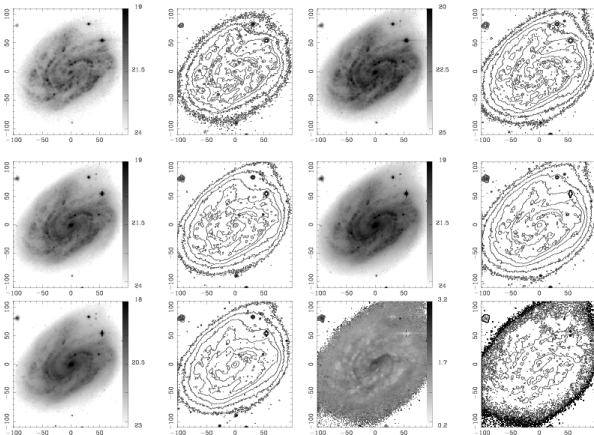


(Capellari et al. 2011, MNRAS, 416, 1680)

# Cap. 4: Galaxias espirales y lenticulares

- 1 Distribución de brillo superficial
- 2 La secuencia de las galaxias de disco
- 3 Distribución de poblaciones estelares
- 4 El gas
- 5 Cinemática - dinámica
- 6 La estructura espiral
- 7 Barras
- 8 El origen de las S0

# Distribución de poblaciones estelares

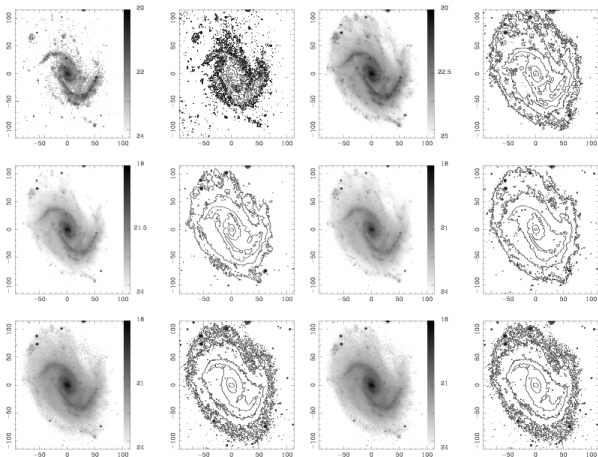


, 2003, A&A, 400, 421)

$U$	$B$
$V$	$R$
$I$	$B - I$

NGC 157  
(SABbc)

# Distribución de poblaciones estelares



$U$	$B$
$V$	$R$
$I$	$B - I$

NGC 895  
(Scd)

# Distribución de poblaciones estelares

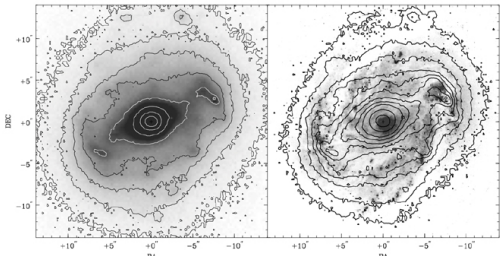
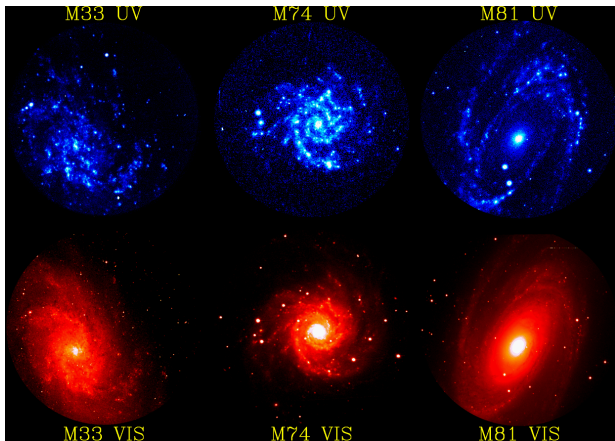


Fig 5.9 (J. Knapen) 'Galaxies in the Universe' Sparke/Gallagher CUP 2007

Región central de M100 (NGC 4321) en óptico (HST, *izq.*) en banda  $K$  ( $2,2\,\mu\text{m}$ ) (*centro*) y en  $\text{H}_\alpha$  (*der.*) + contornos  $K$ .

# Regiones de formación estelar

Observaciones en ultravioleta lejano



Ultravioleta  
lejano  
(UIT)  
 $\lambda = 1521 \text{ \AA}$

óptico

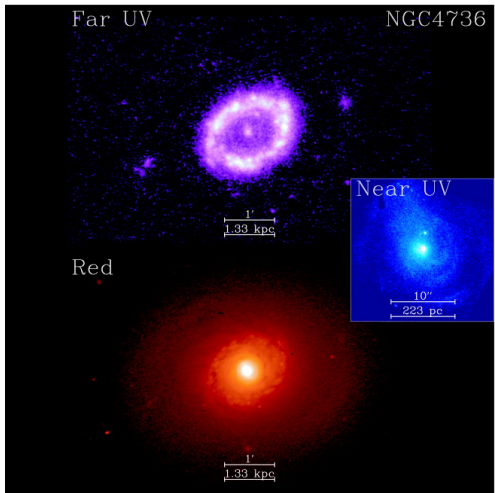
Scd

Sc

Sb

# Regiones de formación estelar

Observaciones en ultravioleta lejano



M 94  
(Sab)

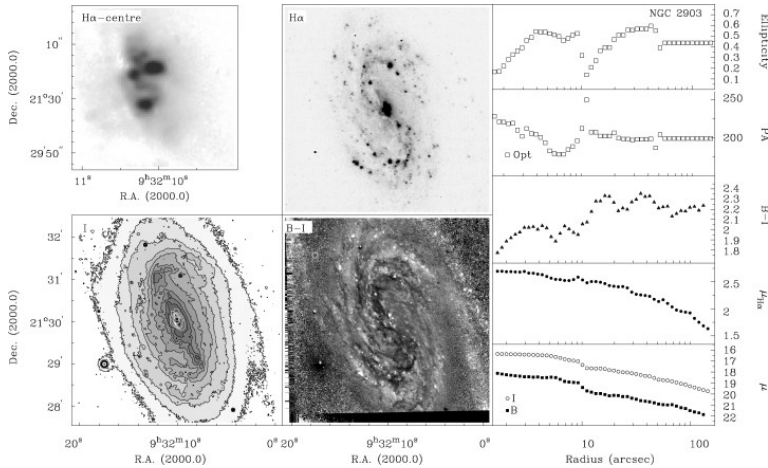
FUV (UIT)  $\lambda = 1521 \text{ \AA}$   
NUV (HST)  $\lambda = 2300 \text{ \AA}$   
(Waller et al. 2001, AJ, 121,  
1395)

# Cap. 4: Galaxias espirales y lenticulares

- 1 Distribución de brillo superficial
- 2 La secuencia de las galaxias de disco
- 3 Distribución de poblaciones estelares
- 4 El gas
- 5 Cinemática - dinámica
- 6 La estructura espiral
- 7 Barras
- 8 El origen de las S0

# Regiones de formación estelar

Emisión H $\alpha$

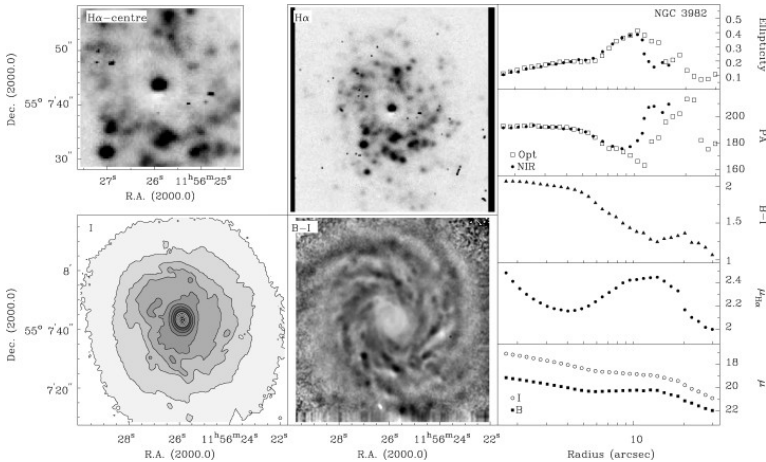


NGC 2903 (SBd)

(Knapen et al., 2002, MNRAS, 337, 808)

# Regiones de formación estelar

Emisión H $\alpha$

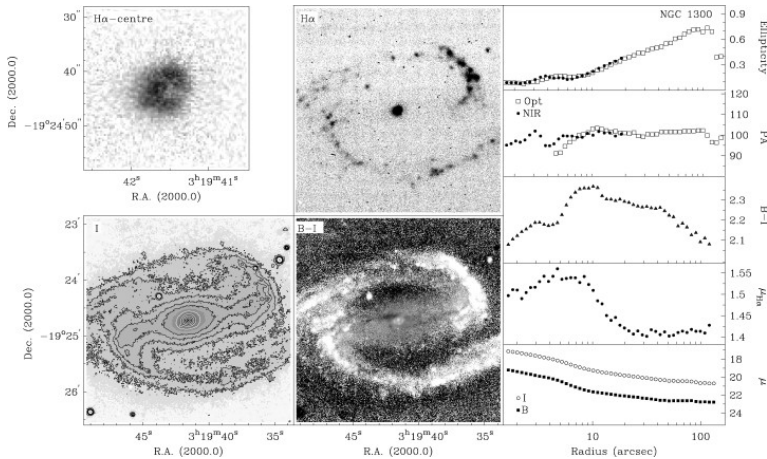


(Knapen et al., 2002, MNRAS, 337, 808)

NGC 3982 (SABb)

# Regiones de formación estelar

Emisión H $\alpha$

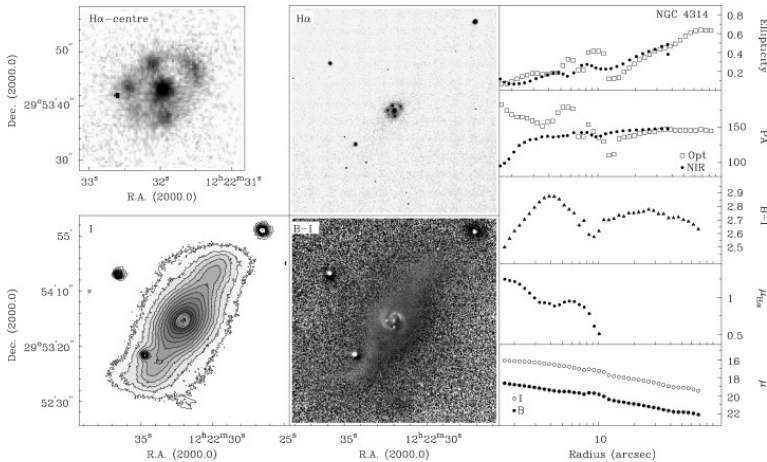


NGC 1300 (SBbc)

(Knapen et al., 2002, MNRAS, 337, 808)

# Regiones de formación estelar

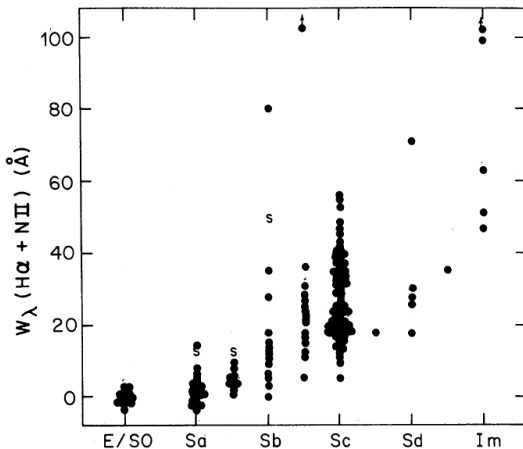
Emisión H $\alpha$



NGC 4314 (SBa)

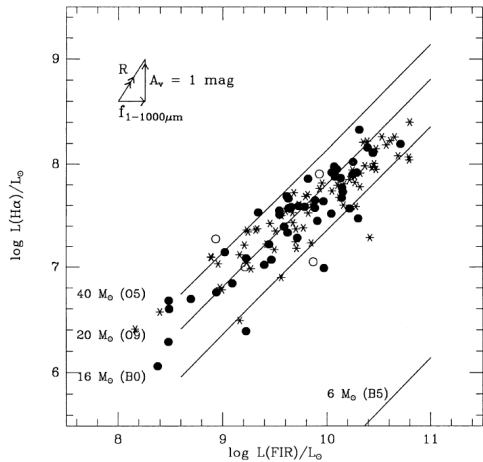
(Knapen et al., 2002, MNRAS, 337, 808)

# Relación H $\alpha$ - tipo de Hubble



(Kennicutt & Kent 1983, AJ, 88, 1094)

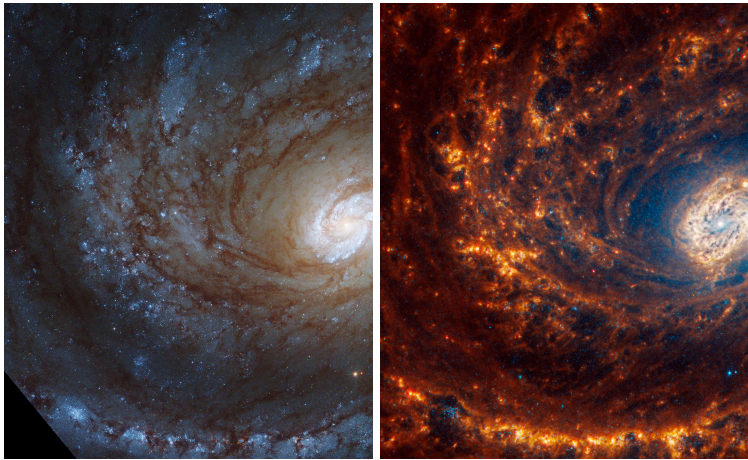
# Relación H $\alpha$ - FIR



(Devereux & Young 1990, ApJ, 350, L25)

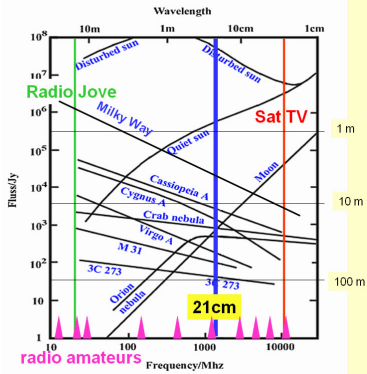
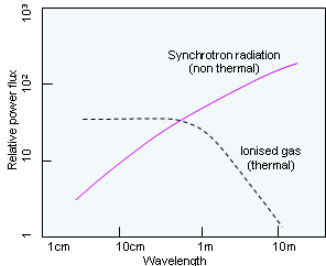
# Galaxias espirales en el IR

JWST



(NASA, ESA, CSA, STScI, Janice Lee (STScI), Thomas Williams (Oxford), PHANGS Team)

# Espectros de fuentes térmicas y no térmicas



Poder resolvente de un telescopio:

$$\theta \simeq \frac{\lambda}{D}$$

$$\begin{array}{ll} \lambda_{\text{radio}} & \sim 10^{-1} \text{ m} \\ \lambda_{\text{óptico}} & \sim 5 \times 10^{-7} \text{ m} \end{array}$$

para  $\lambda = 21 \text{ cm}$ :

Nombre	$D$ (m)	$\theta$ (arcmin)
IAR	30	24
Efflesberg	100	7
FAST (China)	500	1.4

Para  $\theta = 1''$  (típico en el óptico)  $\rightarrow D \sim 40 \text{ km}$

# Síntesis de abertura

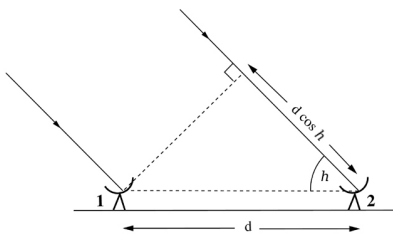
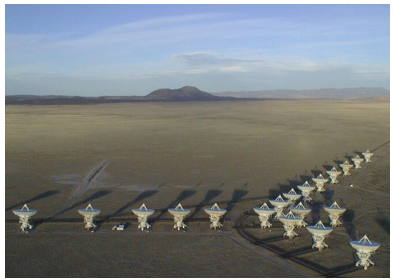


Fig 5.11 'Galaxies in the Universe' Sparke/Gallagher CUP 2007



# Hidrógeno neutro

## Distribución espacial

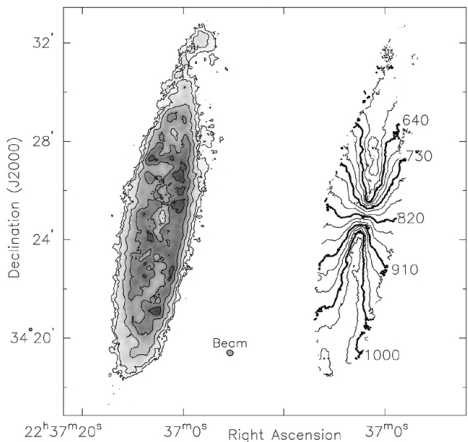


Fig 5.13 (Thornley & Bambic) 'Galaxies in the Universe' Sparke/Gallagher CUP 2007

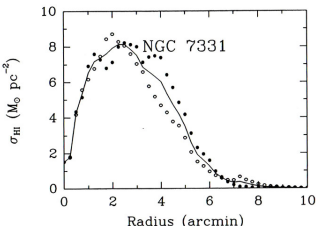
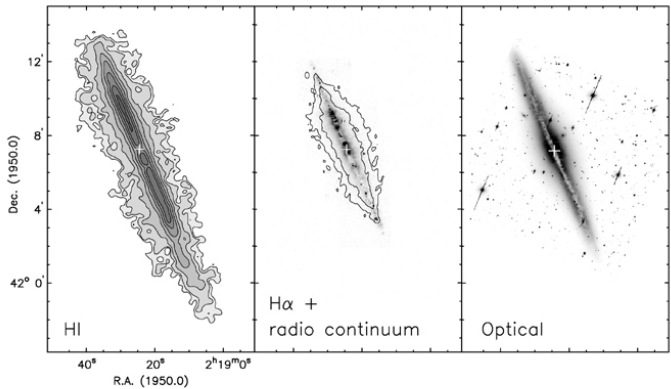


Fig 5.14 (K. Begeman) 'Galaxies in the Universe' Sparke/Gallagher CUP 2007

# Hidrógeno neutro

## Distribución espacial



NGC 891

Fig 5.16 (Swaters & Rand) 'Galaxies in the Universe' Sparke/Gallagher CUP 2007

# Hidrógeno neutro

## Anillos polares

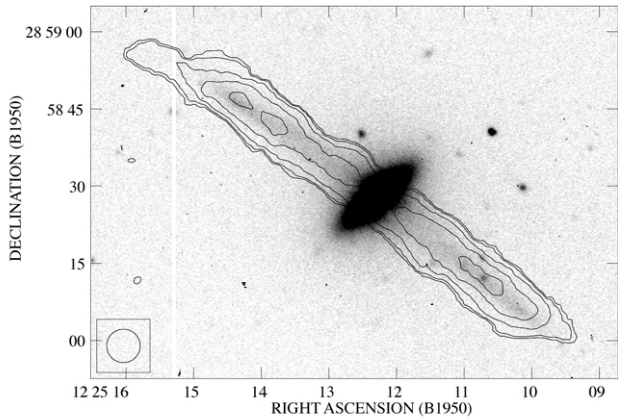


Fig 5.17 (A. Cox) 'Galaxies in the Universe' Sparke/Gallagher CUP 2007

# Cap. 4: Galaxias espirales y lenticulares

- 1 Distribución de brillo superficial
- 2 La secuencia de las galaxias de disco
- 3 Distribución de poblaciones estelares
- 4 El gas
- 5 Cinemática - dinámica
- 6 La estructura espiral
- 7 Barras
- 8 El origen de las S0

# La curva de rotación

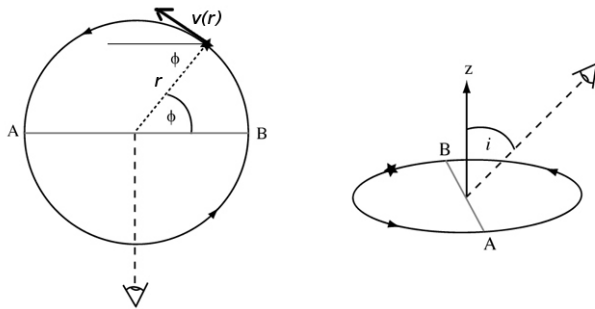


Fig 5.18 'Galaxies in the Universe' Sparke/Gallagher CUP 2007

$$V_r(R, i) = V_{\text{sis}} + V(R) \sin(i) \cos(\phi)$$

# La curva de rotación

## Diagrama de araña

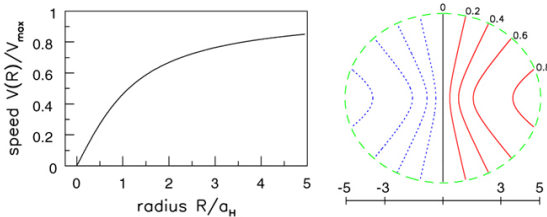


Fig 5.19 'Galaxies in the Universe' Sparke/Gallagher CUP 2007

$$4\pi G \rho_H(r) = \frac{V_H^2}{r^2 + \sigma_H^2}$$

# La curva de rotación

## Diagrama de araña

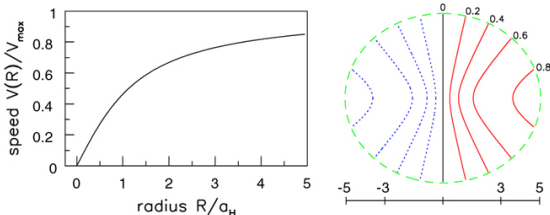
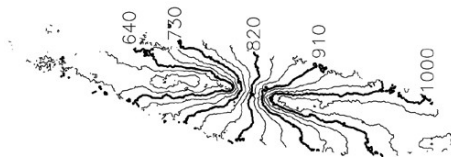


Fig 5.19 'Galaxies in the Universe' Sparke/Gallagher CUP 2007

$$4\pi G \rho_H(r) = \frac{V_H^2}{r^2 + \sigma_H^2}$$



NGC 7331

Diagrama de  
araña

# La curva de rotación

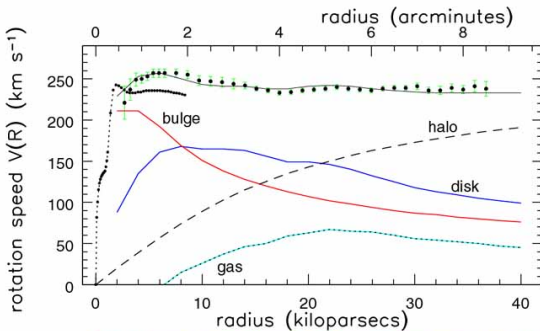


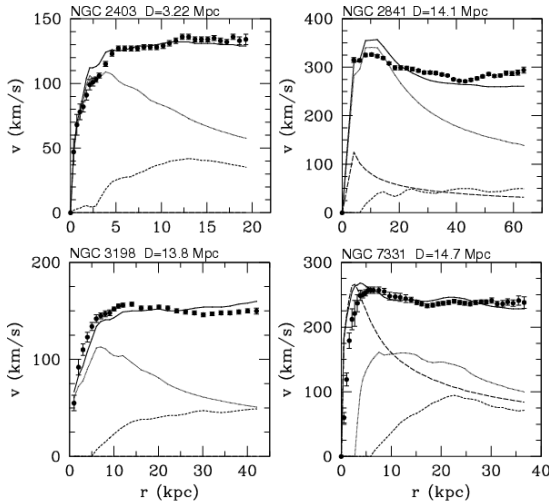
Fig 5.20 (Begeman, Sofue) 'Galaxies in the Universe' Sparke/Gallagher CUP 2007

NGC 7331

$$V(R) \approx \text{cte} \quad \Rightarrow \quad \omega(R) = \frac{V(R)}{R} \text{ es decreciente}$$

$\Rightarrow$  rotación diferencial

# La curva de rotación



Modified Newton Dynamics (MOND)  
NGC 2403 (Scd),  
NGC 2841 (Sb),  
NGC 3198 (Sc) y  
NGC 7331 (Sb)  
(Bottema et al. 2002, A&A 393, 453)

# La relación Tully-Fisher

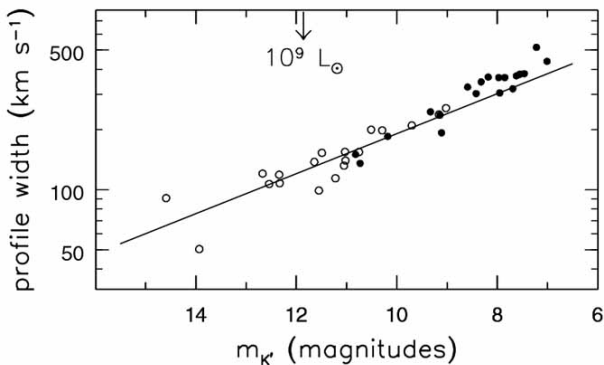


Fig 5.23 (M. Verheijen) 'Galaxies in the Universe' Sparke/Gallagher CUP 2007

# Cap. 4: Galaxias espirales y lenticulares

- 1 Distribución de brillo superficial
- 2 La secuencia de las galaxias de disco
- 3 Distribución de poblaciones estelares
- 4 El gas
- 5 Cinemática - dinámica
- 6 La estructura espiral
- 7 Barras
- 8 El origen de las S0

# Tipos de espirales



NGC 2903 (Sc)  
*grand design*  
Brazos bien definidos

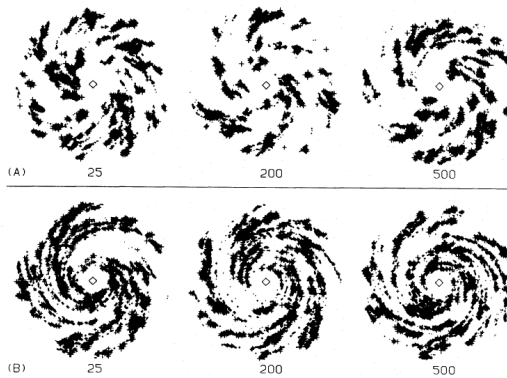


NGC 7793 (Sbc)  
*flocculent*  
Varios fragmentos de brazos

# Espirales tipo “grumoso” (*flocculent*)

Formación estelar estocástica autopropagada (SSPSF)

(Gerola & Seiden 1978, ApJ, 223, 129)



# Espirales tipo *grand design*

$$\cos \{m[\phi + f(R, t)]\} = 1$$

$$\frac{1}{\tan i} = \left| R \frac{\partial \phi}{\partial R} \right| = \left| R \frac{\partial f}{\partial R} \right|$$

$i$  (*pitch angle*)   Sa:  $\langle i \rangle \simeq 5^\circ$     $\rightarrow$    Sc:  $10 < i < 30^\circ$

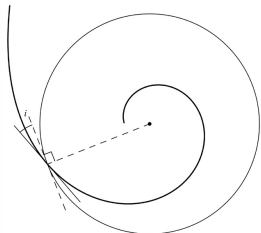
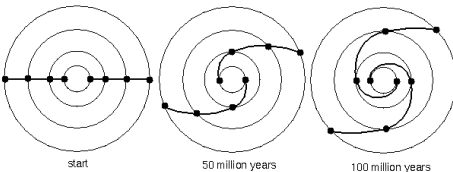


Fig 5.28 'Galaxies in the Universe' Sparke/Gallagher CUP 2007

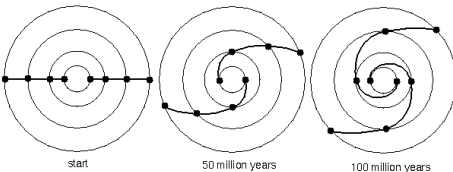
# Espirales tipo “gran diseño” (*grand design*)



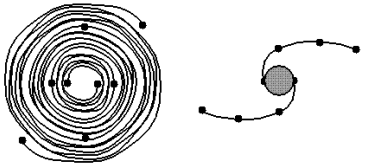
*Differential rotation:* stars near the center take less time to orbit the center than those farther from the center. Differential rotation can create a spiral pattern in the disk in a short time.

(Copyrighted, 1998 – 2006 by Nick Strobel)

# Espirales tipo “gran diseño” (*grand design*)



*Differential rotation:* stars near the center take less time to orbit the center than those farther from the center. Differential rotation can create a spiral pattern in the disk in a short time.



**Prediction: 500 million years      Observation: 15,000 million years**

The “winding problem”: because of differential rotation, the spiral arms should be so wound up after a short time that the spiral structure has disappeared. Observation contradicts the prediction. What keeps the spirals loose?

(Copyrighted, 1998 – 2006 by Nick Strobel)

# Espiral cinemática

$R_g$ : radio guía.

$\Omega(R_g)$ : velocidad angular del centro guía.

$\phi_g = \Omega(R_g)t$ : acimut del centro guía.

$R = R_g + x = R_g + X \cos(\kappa t + \psi)$ : distancia radial de una estrella.

$X$ : amplitud del movimiento radial de la estrella.

$\kappa$ : frecuencia epicíclica.

$\psi$ : indica la posición inicial.

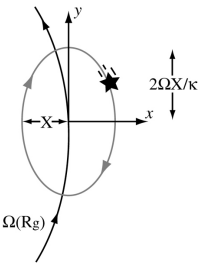


Fig 3.9 'Galaxies in the Universe' Sparke/Gallagher CUP 2007

## Espiral cinemática

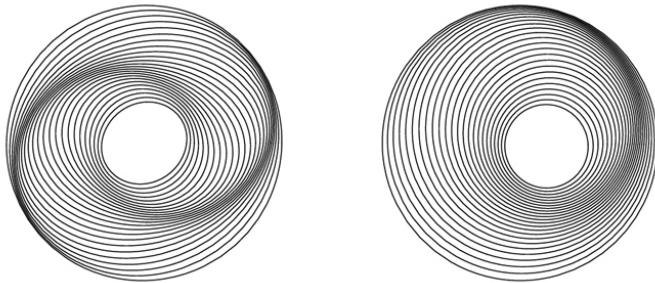
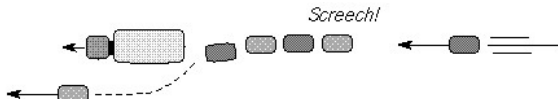


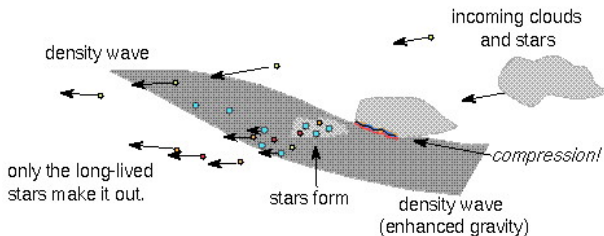
Fig 5.29 'Galaxies in the Universe' Sparke/Gallagher CUP 2007

Para una espiral de  $m$  brazos:  $\psi = m \phi_g(0) \Rightarrow \Omega_p = \Omega - \frac{\kappa}{m}$

# Ondas de densidad



individual cars move through the traffic jam



density wave  
(enhanced gravity)

# Ondas de densidad

## Resonancias de Lindblad

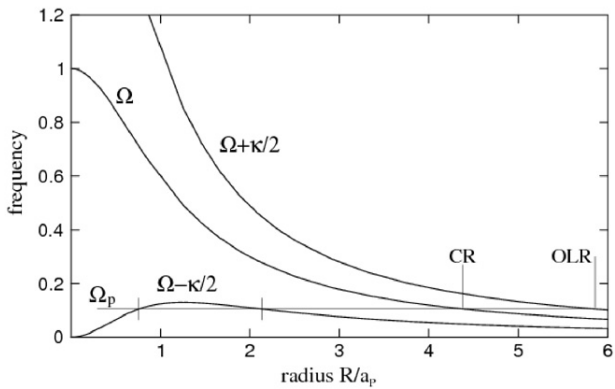


Fig 5.30 'Galaxies in the Universe' Sparke/Gallagher CUP 2007

# Ondas de densidad

Gas - polvo

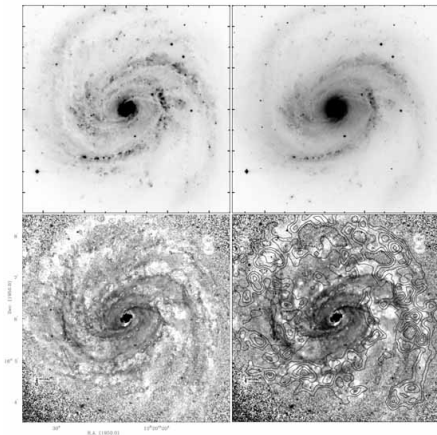


Fig 5.26 (J. Knapen) 'Galaxies in the Universe' Sparke/Gallagher CUP 2007

¿Qué es lo que mantiene la onda?

- fuerza interna debida a barra en rotación
- galaxia compañera



# Cap. 4: Galaxias espirales y lenticulares

- 1 Distribución de brillo superficial
- 2 La secuencia de las galaxias de disco
- 3 Distribución de poblaciones estelares
- 4 El gas
- 5 Cinemática - dinámica
- 6 La estructura espiral
- 7 Barras
- 8 El origen de las S0

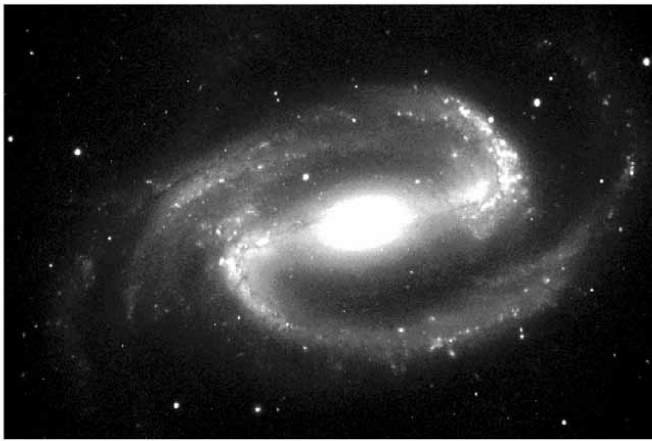


Fig 5.32 (WIYN) 'Galaxies in the Universe' Sparke/Gallagher CUP 2007

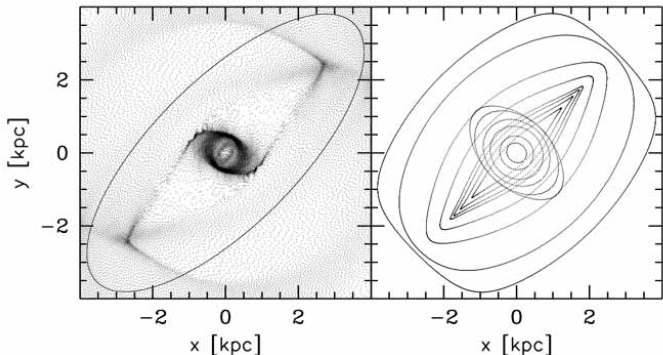


Fig 5.33 'Galaxies in the Universe' Sparke/Gallagher CUP 2007

# Cap. 4: Galaxias espirales y lenticulares

- 1 Distribución de brillo superficial
- 2 La secuencia de las galaxias de disco
- 3 Distribución de poblaciones estelares
- 4 El gas
- 5 Cinemática - dinámica
- 6 La estructura espiral
- 7 Barras
- 8 El origen de las S0

## Similitudes entre S y S0:

- componentes estructurales: bulbos, pseudo-bulbos, discos, barras, anillos, etc.

## Similitudes entre E y S0:

- poblaciones estelares viejas, sin gas frío ni polvo.
- sin estructura espiral.

## Observaciones:

- en los ambientes de alta densidad, aumenta el número de S0 y disminuye el de S (Dressler et al., 1980).
- la frecuencia de las S disminuye desde  $z = 1$ , mientras que el de las S0 aumenta (Dressler et al., 1997).

## Similitudes entre S y S0:

- componentes estructurales: bulbos, pseudo-bulbos, discos, barras, anillos, etc.

## Similitudes entre E y S0:

- poblaciones estelares viejas, sin gas frío ni polvo.
- sin estructura espiral.

## Observaciones:

- en los ambientes de alta densidad, aumenta el número de S0 y disminuye el de S (Dressler et al., 1980).
- la frecuencia de las S disminuye desde  $z = 1$ , mientras que el de las S0 aumenta (Dressler et al., 1997).

## Similitudes entre S y S0:

- componentes estructurales: bulbos, pseudo-bulbos, discos, barras, anillos, etc.

## Similitudes entre E y S0:

- poblaciones estelares viejas, sin gas frío ni polvo.
- sin estructura espiral.

## Observaciones:

- en los ambientes de alta densidad, aumenta el número de S0 y disminuye el de S (Dressler et al., 1980).
- la frecuencia de las S disminuye desde  $z = 1$ , mientras que el de las S0 aumenta (Dressler et al., 1997).

## Escenarios:

1- las galaxias S0 son S que han sido suavemente despojadas de su gas, o bien, han consumido todo el gas frío:

- Hostigamiento galáctico (*galactic harassment*): efectos de marea
- Robo del gas por la presión del medio (*ram pressure stripping*): efecto del gas caliente intracúmulo

Problema (Sidney van den Bergh, 2009): ¡existen S0 en el campo, y muchas en grupos poco densos!

## Escenarios:

1- las galaxias S0 son S que han sido suavemente despojadas de su gas, o bien, han consumido todo el gas frío:

- Hostigamiento galáctico (*galactic harassment*): efectos de marea
- Robo del gas por la presión del medio (*ram pressure stripping*): efecto del gas caliente intracúmulo

Problema (Sidney van den Bergh, 2009): ¡existen S0 en el campo, y muchas **en grupos poco densos!**

## Escenarios posibles:

- 2- encuentros, fusiones menores (<1:7) y acreciones sobre los discos de la S pueden transformarlas en S0 (Bekki et al., 1998; Bournaud et al. 2005; Diaz et al. 2018) → esto actúa también en ambientes de baja densidad
- 3- las galaxias S0 surgen como tales (Sil'chenko 2013; Saha et al., 2018) → puede darse la transformación de S0 a S por acreción de gas fresco

## Escenarios posibles:

- 2- encuentros, fusiones menores (<1:7) y acreciones sobre los discos de la S pueden transformarlas en S0 (Bekki et al., 1998; Bournaud et al. 2005; Diaz et al. 2018) → esto actúa también en ambientes de baja densidad
- 3- las galaxias S0 surgen como tales (Sil'chenko 2013; Saha et al., 2018) → puede darse la transformación de S0 a S por acreción de gas fresco

## Escenarios posibles:

- 2- encuentros, fusiones menores (<1:7) y acreciones sobre los discos de la S pueden transformarlas en S0 (Bekki et al., 1998; Bournaud et al. 2005; Diaz et al. 2018) → esto actúa también en ambientes de baja densidad
- 3- las galaxias S0 surgen como tales (Sil'chenko 2013; Saha et al., 2018) → **puede darse la transformación de S0 a S por acreción de gas fresco**

## Bibliografía del capítulo:

- *Galaxies in the Universe: An Introduction*,  
Linda S. Sparke & John S. Gallagher III (Cambridge University Press, 2nd. Edition, 2000).
- *Galactic Astronomy*,  
J. Binney & M. Merrifield (Princeton University Press, 1998).